

ژئوشیمی آلی، بلوغ حرارتی و پتانسیل هیدروکربن‌زایی سازند گورپی، از گله، شمال غرب کرمانشاه

بهروز رفیعی^{۱*}، مصطفی اربابی^۲، حسن محسنی^۱ و مسعود بیاتی^۳

۱- دانشیار گروه زمین‌شناسی، دانشگاه بولی‌سینا، همدان

۲- کارشناس ارشد زمین‌شناسی، دانشگاه بولی‌سینا، همدان

۳- دانشجوی دکترا زمین‌شناسی مهندسی، دانشگاه بولی‌سینا، همدان

* b Rafiei@basu.ac.ir

دریافت: ۹۱/۶/۱۲ پذیرش: ۹۲/۳/۸

چکیده

جهت بررسی پتانسیل هیدروکربن‌زایی و بلوغ حرارتی سازند گورپی در محل تونل آبرسانی نوسود، منطقه از گله هشت نمونه مورد آنالیز پیرویز راک-اول قرار گرفتند. نتایج نشان داد که مواد آلی این سازند اغلب از نوع کروزن تیپ III و II/III می‌باشند. سازند گورپی در ناحیه مورد مطالعه از لحاظ بلوغ حرارتی یک سنگ منشا بالغ بوده و به مرحله کاتاژن (فتازایی) رسیده است. انعکاس ویترینیت بیشتر نمونه‌ها نیز بین ۱/۳ تا ۱/۵ می‌باشد که خود بیان گر ورود سازند گورپی به مرحله کاتاژن بوده و توانایی تولید مقادیری هیدروکربن مایع را دارد. بر اساس شاخص‌های H_I و T_{max} ، این سازند از لحاظ پتانسیل ژنتیکی یک سنگ منشا مناسب تا نسبتاً خوب بوده و کروزن موجود در آن در صورت رسیدن به بلوغ مناسب توانایی تولید گاز را خواهد داشت. نمودار تعیین رخساره آلی نیز نشان دهنده رخساره آلی CD برای این سازند بوده که تشانگر شرایط رسوبی اکسیدان تا نیمه اکسیژن دار برای این سازند می‌باشد. نتایج آنالیز راک-اول نشان می‌دهند که رسوبات این سازند در مرحله سطح پایین آب (LST) بر جای گذاشته شده‌اند. نتایج آنالیز XRD نشان می‌دهد که کلسیت کانی اصلی تشكیل دهنده نمونه‌ها بوده و کوارتز و پیریت در برخی از نمونه‌ها دیده می‌شود. کانی‌های رسی کائولینیت و ایلیت در نمونه‌های مورد مطالعه مشاهده نشده‌اند.

واژه‌های کلیدی: سازند گورپی، ژئوشیمی آلی، پتانسیل هیدروکربن‌زایی، منطقه از گله، استان کرمانشاه

مقدمه

زاگرس انجام شده است. از جمله این مطالعات می‌توان به مطالعات [۱، ۳، ۴ و ۵] اشاره کرد.

تونل انتقال آب نوسود در غرب ایران یکی از طرح‌های در حال اجرا جهت تأمین انتقال آب به دشت‌های گرمسیری می‌باشد. طول این تونل بالغ بر ۵۷ کیلومتر بوده که از نظر زمین‌شناسی در میان سازندهای گورپی و گرو در زون زاگرس چین‌خورده حفاری می‌شود. حین حفاری تونل از میان سازندهای گرو و گورپی، حجم زیادی از گازهای متان، دی‌اکسید و مونو‌اکسیدکربن و سولفید هیدروژن به داخل تونل نشست کرده که علاوه بر کاهش سرعت حفاری، تلفات جانی نیز در پی داشته است. به همین دلیل و به منظور شناخت منشأ این گازها، هر دو سازند گرو و گورپی در مسیر تونل باید مورد مطالعه قرار گیرند. هدف از این پژوهش بررسی پتانسیل هیدروکربن‌زایی سازند گورپی با استفاده از مطالعات ژئوشیمیایی در منطقه از گله، شمال

امروزه ژئوشیمی نفت با استفاده از نظریات و روش‌های مختلف ژئوشیمیایی بسیاری از مسایل نفتی و بهویژه شناخت سنگ منشأ را مورد مطالعه قرار می‌دهد [۱۲ و ۱۶]. به منظور بررسی پتانسیل سنگ منشأ از روش‌های ژئوشیمیایی و اپتیکی متعددی استفاده می‌شود. بهترین و دقیق‌ترین روش، روش استفاده از دستگاه پیرویز راک-اول می‌باشد. از مزایای این روش مدت زمان کوتاه انجام آن است که طی آن می‌توان تعداد زیادی نمونه را آنالیز نمود [۷]. این روش هم‌چنین اطلاعات مفیدی راجع به رخساره‌های زیستی، وضعیت محیط تهشیینی از لحاظ شرایط اکسیداسیون و احیا و نیز مهاجرت هیدروکربون‌ها از سنگ منشا را ارائه می‌دهد [۱۰]. حوضه رسوبی زاگرس از دیرباز مورد توجه بسیاری از پژوهشگران بوده است. مطالعات ژئوشیمیایی بسیاری بر روی سازند گورپی و دیگر سازندهای دارای پتانسیل سنگ منشأ در حوضه رسوبی

بعضی موارد توسط رسوبات آبرفتی پوشیده شده و مرز زیرین آن سنگ‌های آهکی سازند گرو می‌باشد. لیتوژوئی سازند گوربی در منطقه مورد مطالعه عمدتاً سنگ‌های آهکی تیره رنگ با شکستگی‌های ریز و فراوان می‌باشد. بر اساس سنگواره‌های میکروسکوپی سن سازند گوربی در منطقه مورد مطالعه کرتاسه‌ی بالای می‌باشد [۲].

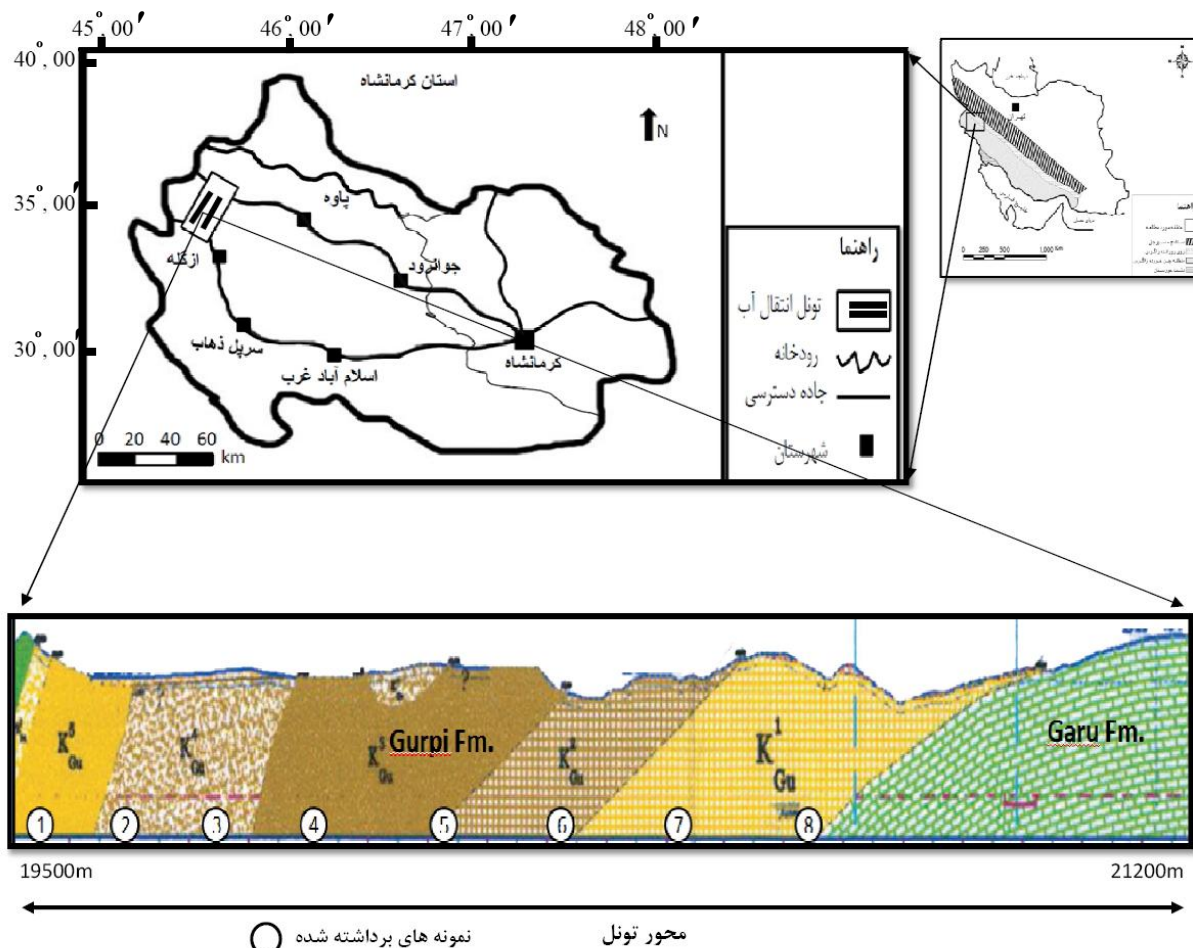
مواد و روش‌ها نمونه‌برداری

تعداد ۸ نمونه سالم و دست نخورده به فواصل منظم در حین حفاری تونل و در محل‌هایی که تونل سازند گوربی را قطع نموده است (عمدتاً در فواصل بین ۱۹۵۰۰ تا ۲۱۲۰۰ متری تونل که مرز زیرین سازند گوربی به خوبی نمایان است) در راستای محور تونل برداشت شده است. این نمونه‌ها به سرعت بسته‌بندی شده و به آزمایشگاه منتقل گردیده است. موقعیت این نمونه‌ها بر روی ستون چینه‌شناسی مسیر تونل نشان داده شده است (شکل ۲).

غرب کرمانشاه، می‌باشد. هم‌جنین رخساره آلی و سیستم تراکت در سازند گوربی مورد بررسی قرار گرفته است. نتایج حاصل از این مطالعه نقش سازند گوربی در تولید این گازها را مشخص خواهد کرد.

موقعیت جغرافیایی و زمین‌شناسی منطقه

منطقه مورد مطالعه در محدوده شهرستان ازگله، شمال غرب کرمانشاه، واقع شده است. این منطقه بیشتر کوهستانی بوده و از لحاظ آب و هوایی دارای زمستان‌های سرد و تابستان‌های گرم می‌باشد. برش مورد مطالعه در واقع در راستای مسیر تونل انتقال آب نوسود می‌باشد که مختصات جغرافیایی ورودی آن عرض شمالی $۲۰^{\circ} ۱۱' ۴۵''$ طول شرقی $۳۲^{\circ} ۴۹' ۳۴''$ است (شکل ۱). محدوده نمونه‌برداری بخشی از زون زاگرس و گرو در زاگرس چین خورده قرار دارد. سازندهای گوربی و گرو در منطقه رخمنون دارند و تونل نوسود این سازندها را قطع کرده و امکان دسترسی به نمونه‌های تازه و سالم را فراهم نموده است. مرز بالایی سازند گوربی فرسایشی بوده و در



شکل ۱. موقعیت جغرافیایی و زمین‌شناسی منطقه مورد مطالعه. بر ارائه شده نشان‌دهنده سازندهای موجود در مسیر تونل انتقال آب و اعداد، شماره نمونه‌ها می‌باشد.

نمونه‌ها در دانشگاه بوعلی سینا همدان توسط دستگاه Italstructures (Cu $\text{k}\alpha$, 40kV, 30mA) آنالیز شده‌اند.

نتایج

آنالیز پیروولیز راک - اول

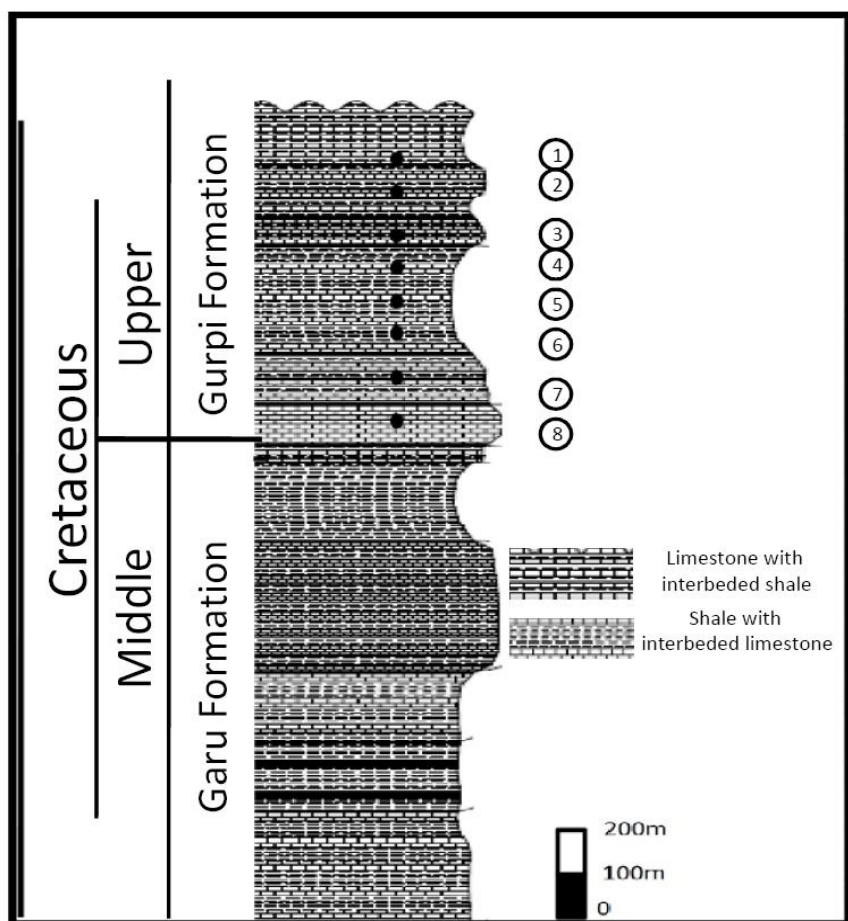
با استفاده از دستگاه پیروولیز راک- اول پارامترهای S_1 (هیدروکربن آزاد شده در درجه حرارت ۳۰۰ درجه سانتی‌گراد بر حسب mg HC/g rock)، S_2 (هیدروکربن آزاد شده در درجه حرارت ۳۰۰ تا ۶۰۰ درجه سانتی‌گراد بر حسب mg Hc/g rock)، S_3 (دی‌اکسیدکربن تولید شده در درجه حرارت ۳۰۰ الی ۳۹۰ درجه سانتی‌گراد بر حسب mg CO_2 /g rock) و S_4 (پتانسیل زایشی بر حسب mg TOC/rock)، HI (شاخص هیدروژن نسبت S_2/TOC) حسب T_{\max} (mg HC/g TOC) و (بیشینه مقدار حرارتی که در آن کروزن تجزیه می‌شود) محاسبه شده است. (جدول ۱).

آنالیز پیروولیز راک - اول

در روش آنالیز پیروولیز راک- اول حدود ۱۰۰ میلی‌گرم نمونه سنگ (پودر شده) در شرایط اتمسفر هلیوم در ۳۰۰ درجه سانتی‌گراد به مدت ۳ دقیقه حرارت داده می‌شود. سپس دما با فواصل ۲۵ درجه سانتی‌گراد در هر دقیقه تا ۶۰۰ درجه سانتی‌گراد افزایش می‌یابد [۱۴]. در این پژوهش ۵۰ گرم پودر از هر نمونه سنگی متعلق به سازند گوری به پژوهشگاه صنعت نفت ارسال گردید تا با دستگاه پیروولیز راک- اول مدل ۶ از لحاظ پتانسیل هیدروکربن‌زایی مورد ارزیابی قرار گیرد.

آنالیز XRD

به منظور تشخیص کانی‌های تشکیل‌دهنده نمونه‌های متعلق به سازند گوری، از میان ۸ نمونه برداشت شده تعداد ۵ نمونه پودری مورد آنالیز XRD قرار گرفته است.



شکل ۲. ستون چینه‌شناسی مسیر توغل (متراز ۱۹۵۰۰ تا ۲۱۲۰۰ متری توغل). موقعیت نمونه‌های برداشته شده (نقاط سیاهرنگ) و شماره آن‌ها (اعداد داخل دوایر) نیز روی شکل نشان داده شده‌اند.

جدول ۱. نتایج آنالیز بیرونی راک- اول سازند گورپی در منطقه مورد مطالعه. شاخص‌های آماری بیشینه (max)، کمینه (min)، میانگین (mean) و انحراف معیار (SD) نیز نمایش داده شده است. S_1 و S_2 بر حسب S_3 .mg HC/g rock بر حسب (mg CO₂/g rock)

Number	S_1	S_2	S_3	T_{max} (°C)	HI (mg HC/g TOC)	OI (mg CO ₂ /g TOC)	TOC (Wt%)
1	0.19	0.10	0.00	452	36	0.00	0.27
2	0.52	0.06	0.00	450	22	0.00	0.27
3	0.90	0.58	0.00	474	44	0.00	1.33
4	0.96	0.87	0.00	452	99	0.00	0.88
5	0.63	0.45	0.00	474	47	0.00	0.95
6	0.85	0.97	0.00	473	55	0.00	1.87
7	0.65	0.63	0.00	450	106	0.00	0.59
8	1.09	1.27	0.00	454	113	0.00	1.12
Max	1.09	1.27	0.00	474	113	0.00	1.87
Min	0.19	0.10	0.00	450	22	0.00	0.27
Mean	0.72	0.61	0.00	459.90	65.25	0.00	0.91
SD	0.29	0.42	0.00	11.49	35.24	0.00	0.54

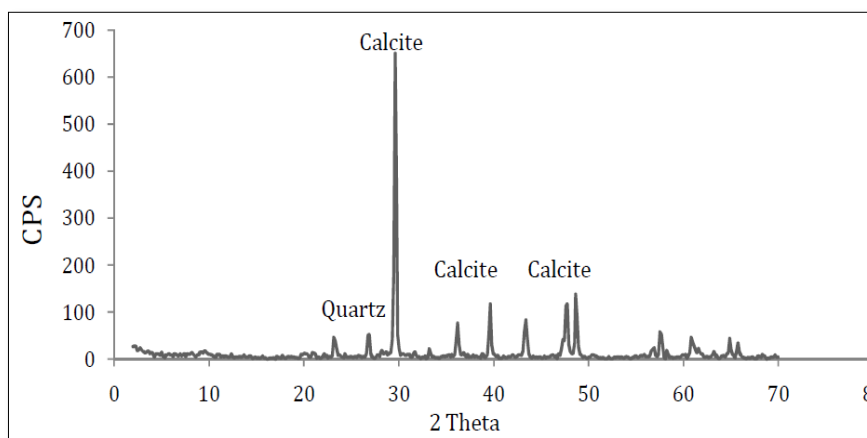
ولی به دلیل این‌که مقادیر OI سازند گورپی صفر می‌باشد بنابراین در دیاگرام فوق به جای OI از پارامتر T_{max} جهت پی‌بردن به نوع کروزن استفاده شده است (شکل ۴). نمودار S_2 در برابر TOC نیز بیان‌گر نوع کروزن می‌باشد (شکل ۵). همچنین [۸]. نیز بر پایه این نمودار انواع تیپ‌های کروزن را مشخص نموده است (شکل ۶). با توجه به نمودار [۸]، ۳۷/۵ درصد کروزن تیپ II/III، ۵۰ درصد کروزن تیپ III و ۱۲/۵ درصد کروزن تیپ IV می‌باشند (شکل ۷ الف). در مجموع می‌توان گفت که ۸۷/۵ درصد نمونه‌های سازند گورپی از کروزن تیپ II/III و III تشکیل شده‌اند. کروزن تیپ III در صورت رسیدن به بلوغ مناسب (مرحله متاثرن- گاززایی با انعکاس ویترینیت بیشتر از ۲/۵ قابلیت تولید گاز را خواهد داشت.

آنالیز کانی‌شناسی (XRD)

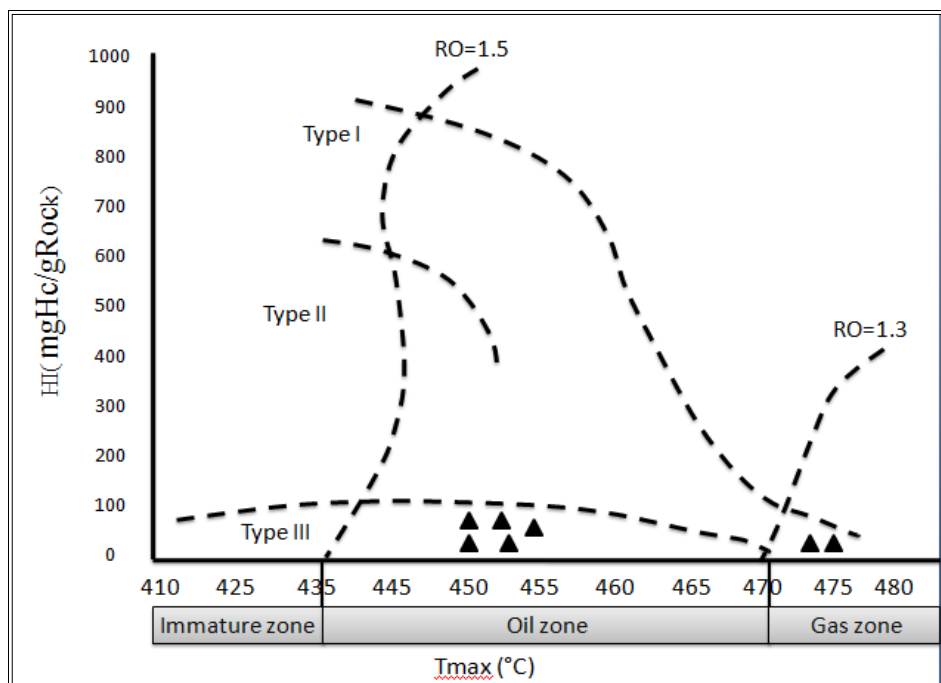
سازند گورپی در منطقه مورد مطالعه غالباً یک سازند آهکی بوده و بیشتر از کانی کلسیت با مقدار جزیی کوارتز تشکیل شده است. نمونه‌ای از دیاگرام XRD در شکل ۳ دیده می‌شود. عدم وجود کانی‌های ایلیت و کائولینیت در طیف‌های XRD نشان می‌دهد که این سازند حرارت‌های بالایی را تحمل نکرده و بنابراین بیشینه دمایی که مواد آلی این سازند متحمل شده در حدود پایان کاتاژنز می‌باشد و با توجه به عمق این سازند انتظار تولید گاز در این وضعیت بسیار نامحتمل می‌باشد.

ژئوشیمی آلی نوع کروزن

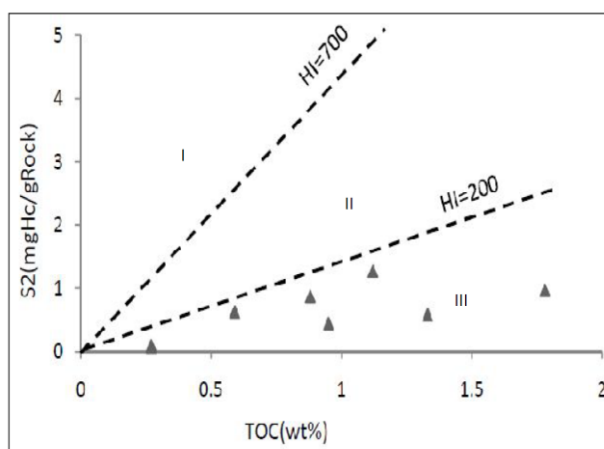
رسم مقادیر شاخص هیدروزن (HI) در مقابل شاخص اکسیژن (OI) در دیاگرام [۸]. بیان‌گر نوع کروزن می‌باشد.



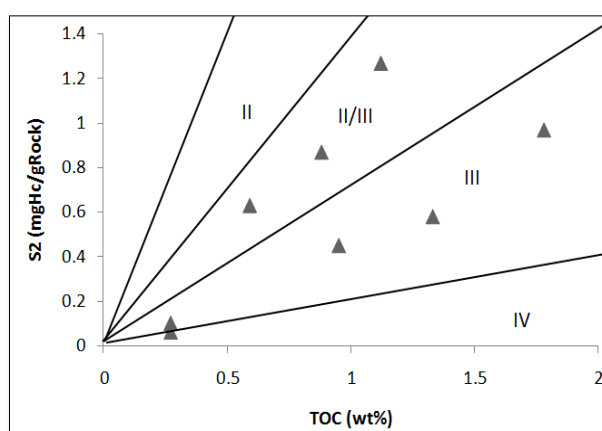
شکل ۳. دیاگرام XRD یکی از نمونه‌های مربوط به سازند گورپی. پیک‌های کلسیت و کوارتز در این نمودار به خوبی مشاهده می‌شوند.



شکل ۴. نمودار HI در مقابل T_{max} بیانگر نوع ماده آبی می‌باشد [۸]. همان‌گونه که در شکل مشخص است. اکثر نمونه‌ها در محدوده کاتاژن (نفت‌زایی) قرار دارند.



شکل ۵. نمودار S_2 در مقابل TOC که بیانگر تیپ کروزن می‌باشد [۱۱]. تمام نقاط در محدوده کروزن تیپ III قرار گرفته‌اند.



شکل ۶. رسم مقادیر S_2 در مقابل TOC [۸]. اغلب نقاط در محدوده کروزن تیپ III و II/III واقع شده‌اند.

سنگ منشا گورپی قبل از بلوغ حرارتی لازم برای شکستن گروه‌های کربوکسیل خود رسیده است، لذا مقادیر OI نمونه‌های سازند گورپی صفر می‌باشد. مقادیر T_{max} بالای نمونه‌ها نیز این مطلب را تایید می‌کند [۸].

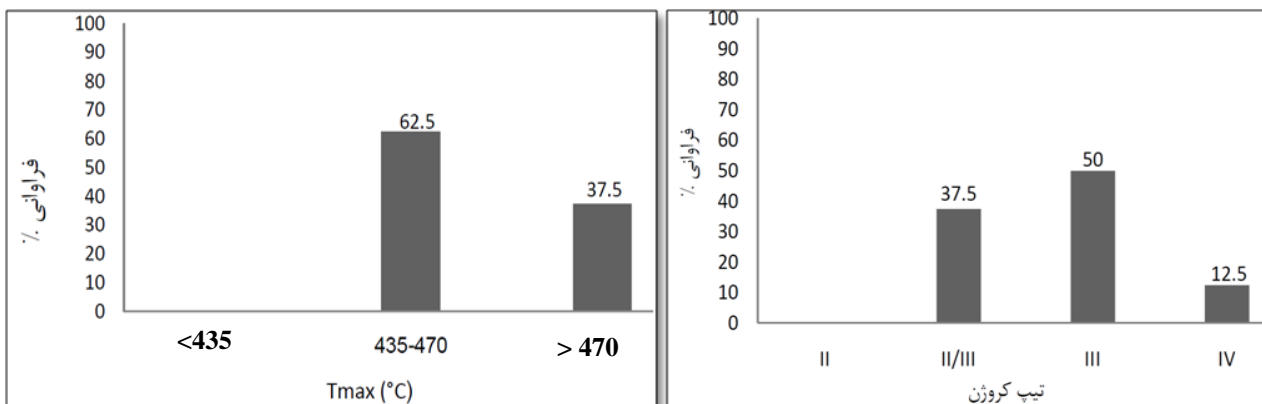
نمودار S_2/TOC و پتانسیل سنگ منشا
نمودار S_2/TOC بیان گر پتانسیل هیدروکربن‌زاویی سنگ منشا می‌باشد [۱۴]. سازند گورپی در منطقه مورد مطالعه یک سنگ منشا متوسط تا خوب ولی از لحاظ پتانسیل هیدروکربن‌زاویی یک سنگ منشا ضعیف می‌باشد (شکل ۸). شایان ذکر است که هیچ‌کدام از نمونه‌های سازند گورپی دارای TOC بالای ۲٪ نمی‌باشند و این موضوع خود دلیلی بر پایین بودن کمیت ماده آلی در سنگ منشا منطقه مورد مطالعه می‌باشد. سنگ‌های منشأ که دارای S_2 کمتر از ۲/۵ mg HC/g Rock می‌باشند در ردیف سنگ‌های منشأ با پتانسیل هیدروکربن‌زاویی متوسط و ضعیف قرار می‌گیرند [۷ و ۱۴]

بیشینه درجه حرارت (T_{max}) و پنجره نفتی

مقادیر T_{max} نمونه‌های سازند گورپی بین ۴۵۰ تا ۴۷۴ درصد نمونه‌ها در درجه حرارت بین ۴۳۵ تا ۴۷۰ درجه سانتی‌گراد و ۳۷/۵ درصد آن‌ها در درجه حرارت بیش از ۴۷۰ درجه سانتی‌گراد قرار دارند (شکل ۷ ب). شروع پنجره‌ی نفتی در T_{max} بین ۴۳۵ تا ۴۴۵ درجه سانتی‌گراد و پایان پنجره‌ی نفتی در T_{max} ۴۷۰ درجه سانتی‌گراد است [۸]. با توجه به موارد ذکر شده بیش‌تر نمونه‌های سازند گورپی در مرحله‌ی بالغ بوده و به مرحله کاتاژن (نفت‌زاویی) رسیده‌اند.

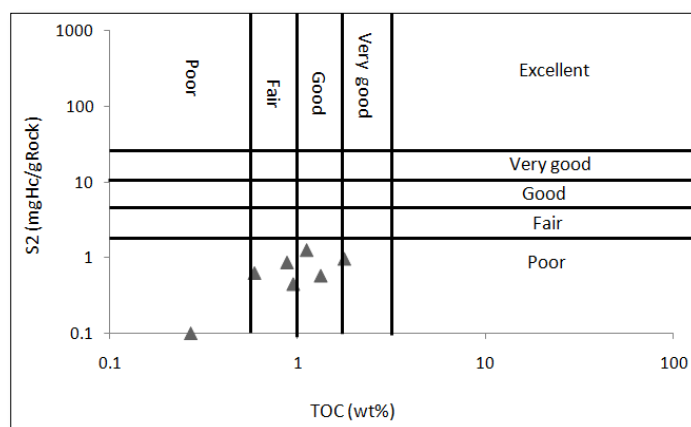
شاخص هیدروژن

شاخص هیدروژن نمونه‌های سازند گورپی بین صفر تا ۱۵۰ mg HC/g Rock می‌باشد. این بدین معناست که نمونه‌ها مقادیری هیدروکربن مایع تولید می‌نمایند [۱۵]. این نتیجه با نتایج حاصل از تعیین تیپ کروزن (یعنی برتری کروزن تیپ III) نیز سازگاری دارد. به دلیل این که



شکل ۷. (الف) نمودار ستونی فراوانی انواع کروزن‌ها در سازند گورپی. کروزن تیپ III و II/III حدود ۸۷٪ از مجموع مواد آلی را تشکیل

می‌دهد. (ب) نمودار ستونی T_{max} نمونه‌های سازند گورپی



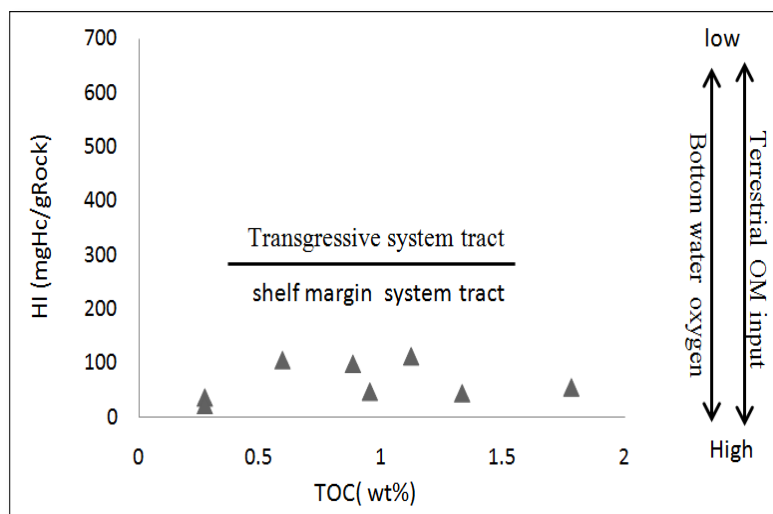
شکل ۸. نمودار S_2/TOC بیان گر پتانسیل هیدروکربن‌زاویی [۱۴]. سازند گورپی یک سنگ منشا متوسط تا خوب ولی دارای پتانسیل هیدروکربن‌زاویی ضعیف می‌باشد.

نمونه‌ها شده و باعث کاهش پتانسل هیدروکربن‌زاوی سنگ منشا شده است. از این رو حدود ۵۰٪ کروزن‌های سازند گوربی از تیپ III می‌باشند.

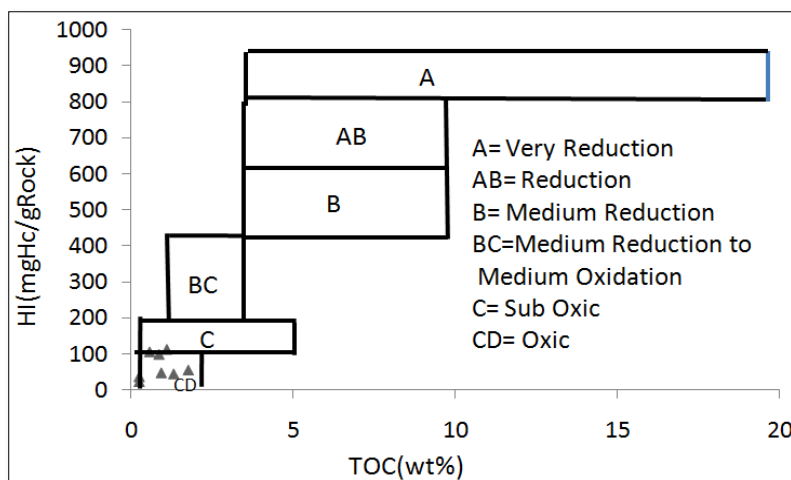
همچنین این نمودار (HI/TOC) جهت تعیین رخساره‌ی آلی مورد استفاده قرار می‌گیرد [۹]. بر اساس مقادیر HI و TOC محدوده‌ی رخساره‌ی این سازند تعیین شده است (شکل ۱۰). بر این اساس محدوده‌ی رخساره‌ی این سازند TOC بوده که بیان‌گر محیطی اکسیدان با مقادیر CD پایین و مواد آلی با منشا خشکی می‌باشد [۱۰]. این نتیجه کاملاً با نتایج شکل ۹ که نشان دهنده تجمع مواد آلی در مرحله سطح پایین آب دریاست تطابق دارد.

نمودار HI/TOC

برای تعیین سیستم تراکت‌ها می‌توان از نمودار HI در مقابل TOC استفاده کرد [۱۳]. در سیستم تراکت‌های سطح بالای آب (TST) بیشترین مقدار TOC در رسوبات انباشته می‌شود، ولی در زمان سطح پایین آب (LST) به دلیل این که سطح آب دریا پایین می‌باشد قسمت اعظمی از شلف از آب خارج بوده و مواد آلی از خشکی وارد محیط رسوبی شده و طی این عمل مواد آلی اکسیده شده و در نتیجه مقدار TOC نمونه‌ها کاهش می‌یابد [۸]. با توجه به نمودار HI در مقابل TOC (شکل ۹) تمامی نمونه‌های سازند گوربی در سطح پایین آب بر جای گذاشته شده‌اند و همین امر سبب اکسید شدن نمونه‌ها و کاهش TOC می‌شود.



شکل ۹. رسم مقادیر HI در مقابل TOC جهت تعیین سیستم تراکت [۱۳]. تمامی نمونه‌های سازند گوربی در هنگام سطح پایین آب بر جای گذاشته شده‌اند.



شکل ۱۰. نمودار مقادیر TOC در مقابل HI چهت تعیین رخساره آلی [۹]. سازند گوربی در ناحیه مورد مطالعه در شرایطی اکسیدان رسوب کرده است.

نتیجه‌گیری

شاخص سنگ منشأ (SPI_r)

با توجه به بررسی‌های صورت گرفته و تفسیر نتایج آنالیز راک-اول بر روی نمونه‌های سازند گوربی می‌توان چنین نتیجه‌گیری کرد که کروزن غالب در سازند گوربی کروزن تیپ III II/III بوده و دارای منشأ خشکی می‌باشد. شاخص هیدروژن نمونه‌های سازند گوربی کمتر از ۴۵.۲ mg HC/g Rock می‌باشد. سازند گوربی در منطقه مورد مطالعه یک سه متوسط تا خوب بوده ولی از لحاظ پتانسیل تولید هیدروکربن در رتبه‌ی ضعیف قرار می‌گیرد، این مطلب با TOC کمتر از ۲٪ تمام نمونه‌ها نیز سازگاری دارد. این سازند در منطقه مورد مطالعه از لحاظ بلوغ حرارتی بالغ بوده و به پنجره‌ی نفتی (مرحله کاتاژنز) رسیده است. انکاس ویترینیت بیشتر نمونه‌ها نیز بین ۱/۳ تا ۱/۵ می‌باشد که خود نشان‌گر ورود سازند گوربی به مرحله کاتاژنز می‌باشد. با توجه به نتایج ژئوشیمی آلی مشخص است که سازند گوربی در منطقه مورد مطالعه نقش چندانی در تولید گاز نداشته و باید در سازندهای دیگر به دنبال منشأ این گازها بود.

سپاسگزاری

این پژوهش با حمایت مالی دانشگاه بوعلی سینا همدان صورت پذیرفته است. در اینجا از آقای مهندس گرگه‌ای به‌دلیل همکاری در مطالعات صحرایی و همچنین از پژوهشکده علوم زمین صنعت نفت تهران به‌خاطر انجام آنالیز راک-اول تشکر و سپاسگزاری می‌گردد.

جهت تعیین شاخص سنگ منشأ از رابطه ارائه شده توسط [۶] استفاده شده است. این شاخص بیانگر حداکثر هیدروکربن تولیدی از ستونی از یک سنگ در یک متر مربع از سطح تولید است. این شاخص طبق رابطه زیر محاسبه می‌شود:

SPI_r: شاخص سنگ منشأ، h: ضخامت سنگ منشأ (بر حسب متر)، p: وزن مخصوص سنگ منشأ و مقدار S₁+S₂ متوسط شاخص تولید (بر حسب کیلوگرم هیدروکربن در تن سنگ منشأ) می‌باشد.

بر پایه مطالعات [۶] چگالی سنگ‌های منشأ را ۲/۵ تن بر متر مکعب برآورد کرده‌اند. آن‌ها هم‌چنین بیان کرده‌اند که سنگ‌های منشایی که SPI_r آن‌ها کمتر از ۲، بین ۲ تا ۷ و بیشتر از ۷ باشند به ترتیب پتانسیل سنگ منشأ کم، متوسط و بالا می‌باشد. تونل انتقال آب نوسود سازند گوربی را در متراژهای متعددی قطع نموده و امکان محاسبه یک ضخامت معین از این سازند امکان‌پذیر نبوده در نتیجه ضخامت میانگین این سازند محاسبه شده و مقدار آن ۴۰۰ متر می‌باشد. نمونه‌های سازند گوربی در منطقه مطالعاتی دارای SPI_r کمتر از ۲ بوده و اصطلاحاً یک سنگ منشأ با پتانسیل کم می‌باشد (جدول ۲).

جدول ۲. محاسبه شاخص SPI_r سازند گوربی در منطقه مورد مطالعه

سازند	ضخامت (متر)	چگالی (تن در متر مکعب)	S ₁ +S ₂ میانگین	شاخص SPI _r	پتانسیل سنگ منشأ
گوربی	۴۰۰	۲/۵	۱/۳۴	۱/۰۰۵	کم

منابع

- regressive shale. *Org. Geochem.* V. 17(4), p. 483-509.
- [14] Peters K. E (1986) Guidelines for evaluating petroleum source rocks using programmed pyrolysis. *Am. Assoc. Petrol. Geol. Bull.*, V. 70, p. 318-329.
- [15] Peters, K.E. and Cassa, M.R (1994) Applied source rock geochemistry. In: Magoon, L.B., Dow, W.G. (Eds.), *The petroleum system-from source to trap*, Am. Assoc. Petrol. Geol. Mem., no. 60, p. 93-120.
- [16] Peters, K.E. and Fowler, M.G (2002) Application of petroleum geochemistry to exploration and reservoir management. *Organic Geochemistry*, V. 33, p. 5-36.
- [1] اشکان، ع. م (۱۳۸۳) اصول مطالعات رئوشیمیایی سنگ‌های منشا هیدروکربوری و نفت‌ها با نگرش ویژه به حوضه رسوبی زاگرس. انتشارات شرکت ملی نفت ایران. ۳۵۵ ص.
- [2] موسسه خدمات مهندسی مشاور لار (۱۳۸۵) مطالعات مرحله یک تونل انتقال آب نوسود.
- [3] Ala, M.A., Kinghorn, R.R.F. and Rahman, M (1980) Organic geochemistry and source rock characteristics of the Zagros petroleum province, Southwest of Iran. *Petroleum Geology*, V. 3, p. 61-86.
- [4] Bordenave, M.L. and Burwood, R (1990) Source rock distribution and maturation in the Zagros Orogenic Belt: Provenance of Asmari and Bangestan reservoir oil accumulations. *Organic Geochemistry*. V. 16, p. 366-387.
- [5] Bordenave, M.L. and Huc, A.Y (1995) The Cretaceous source rock in the Zagros Foothills of Iran. *Revue De Institut Francais Du Petrol*, V. 50, p. 727-754.
- [6] Demaison, G. J. and Huizinga, B.J (1991) Genetic classification of the petroleum system. *AAPG Bulletin*, V. 75, p. 1624-1643.
- [7] Espitalié J., Deroo, G. and Marquis, F (1985) La pyrolysis Rock-Eval et ses applications. *Revue Institut Francais du Pétrole*, part I, V. 40, p. 563-587, part II, V.40, p. 755-784 (in French).
- [8] Hunt, J.M (1996) Petroleum geochemistry and geology. W.H. Freeman and Company, New York, p. 743.
- [9] Jones, R.W (19870 Organic facies. In: Brooks, J., and Welte, D. (eds.), *Advances in petroleum geochemistry 2*. Academian Press, London, p. 1-9.
- [10] Kotorba, M.J., Wieclaw, D., Kosakowski, P., Zacharski, J. and Kowalski, A (2003) Evaluation of source rock and petroleum potential of middle Jurassic strata in the southeastern part of Poland, *Prezeglad. Geologi Czny*, V. 51, p. 1031-1040.
- [11] Langford, F.F. and Blanc-Valleron, M.M (1990) Interpreting Rock- Eval pyrolysis data using of pyrolylizable hydrocarbons vs. total organic carbon. *AAPG. Bull.* V. 74 (6), p. 804-779.
- [12] Miller, R.G (1995) A future for exploration geochemistry. In: Grimalt, J.O. Dorronsoro, C. (eds.), *Organic Geochemistry: developments and application to energy, climate, environment and human history*. A.I.G.O.A., Donostia-San Sebastian, Spain, p. 412-414.
- [13] Pasley, M., Gregory, W. and Hart, G.F (1991) Organic matter variations in transgressive and

